

**بررسی رفتار خاکهای ماسه‌ای مسلح و غیر مسلح زیر پی نواری به کمک روش PIV\***  
**(یادداشت پژوهشی)**

مسعود حاجی علیلوی بناب<sup>(۱)</sup> هوشنگ کاتبی<sup>(۲)</sup> فریبا بهروزسرند<sup>(۳)</sup>

**چکیده** در تحقیق حاضر مکانیسم گسیختگی، تغییر شکل خاک ماسه‌ای و تاثیر مسلح کننده‌ها بر این فرآیند در زیر یک پی نواری به کمک روش PIV بررسی شده است. بدین منظور مدل‌سازی‌های فیزیکی بر روی خاک ماسه‌ای انجام شده و برای مسلح سازی از مواد ژئوستیکی مناسب استفاده گردیده است. در هر مرحله از بارگذاری، از توده تغییر شکل یافته خاک عکس‌سازی دیجیتال شده و تصاویر مورد پردازش قرار گرفته‌اند. نتایج آزمایشات نشان می‌دهند که استفاده از مسلح کننده‌های مناسب منجر به افزایش قابل توجه ظرفیت باربری و کاهش میزان نشست پی و تغییر در مکانیسم گسیختگی شده و همچنین کارایی بهتر ژئوگرید نسبت به ژئوتکستایل در خاک‌های ماسه‌ای و در محاذده کرنش‌های کوچک ثابت می‌گردد.

**واژه‌های کلیدی** PIV، مدل‌سازی فیزیکی، مکانیزم گسیختگی، خاک ماسه‌ای، ژئوستیک.

## Behavior Investigation of Reinforced and Unreinforced Sand below Strip Foundation using PIV

M.Hajjaliloue Bonab      H. Katebi      F. B. Sarand

**Abstract** In this research, failure mechanism, soil deformation and effect of reinforcement below a strip foundation were studied using physical modeling and PIV method. For this purpose, a comprehensive set of tests were undertaken on dense and loose sands and different geosynthetic materials such as geotextile and geogrid for soil reinforcing. In each step of loading, digital image of deformed soil was captured and image processing was applied with GeoPIV software. The experimental results showed that using of geogrid and geotextile leading to increase bearing capacity considerably, reduce settlement and change the failure mechanism of sand. The test results showed also that geogrid has an effective performance in comparison with geotextile in sand at the range of small strains.

**Key Words** PIV, Physical modeling, Failure Mechanism, Sand, Geosynthetics

\* نسخه‌ی اول مقاله در تاریخ ۱۳۸۸/۱۱/۴ و نسخه‌ی نهایی آن در تاریخ ۱۳۹۰/۸/۲۸ به دفتر نشریه رسیده است.

(۱) نویسنده‌ی مسئول، استادیار گروه خاک و پی، دانشکده عمران، دانشگاه تبریز

(۲) استادیار گروه خاک و پی، دانشکده عمران، دانشگاه تبریز

(۳) دانشجوی دکتری خاک و پی، دانشکده عمران، دانشگاه تبریز

اصلاح ضعف کششی خاک، پارامترهای مکانیکی آن را نیز بهبود می‌بخشد. بنابراین واژه خاک مسلح، به مسلح کردن خاک به وسیله عناصر کششی نظیر میلگرد، تسمه‌های فولادی و یا ژئوستیکها اطلاق می‌شود. با توجه به تعاریف و توصیحات ارائه شده واضح است که مکانیزم گسیختگی خاک در شرایط مسلح متفاوت از حالت غیر مسلح خواهد بود دانشمندان متعددی بر روی رفتار خاک مسلح در زیر پی‌های نواری تحقیق کرده‌اند Guido[10] Binquet and Akinmusuru and [9] Yetimuglu [15] dee، Adams and Colin Akinboladeh[6] اشاره کرد. نتیجه واحدی که همه این محققین به آن دست یافته‌اند افزایش چشمگیر ظرفیت باربری خاک با قرار دادن مسلح کننده در عمق مشخص از زیر پی است. هم چنین بر اساس این مطالعات مدهای گسیختگی متفاوتی برای خاکهای با مسلح کننده‌های گوناگون برای عمقهای قرارگیری و تعداد لایه‌های مختلف ارائه شده است. در مورد مکانیسم گسیختگی خاک مسلح Huang and Menq [11] فرضیه‌ای را بر اساس مکانیزم شکست – wide slab در خاک که توسط Schlosser et al. پیشنهاد شده، ارائه داده‌اند که بر طبق این تئوری گوه گسیختگی بعد از لایه‌های مسلح کننده ایجاد شده و سطوح گسیختگی نواحی مقاوم تا سطح زمین توسعه پیدا می‌کند.

بر طبق آنچه گفته شد تخمین ظرفیت باربری خاکها به روش‌های کلاسیک گسیختگی برشی مبتنی بر بکارگیری پارامترهایی است که بخشی به هندسه پی و بار وارد (طول، عرض، عمق پی، زاویه انحراف، خروج از مرکزیت بار) و بخشی به مشخصات ژئوتکنیکی خاک (زاویه اصطکاک، چسبندگی، عمق آب زیرزمینی و وزن مخصوص) وابسته است. روشهای ارائه شده تاکنون بر پایه مطالعات تحلیلی و همچنین مدلسازیهای آزمایشگاهی استوار بوده و اکثر مدل‌های فیزیکی انجام یافته بر اساس اطلاعات نیرو-تغییر مکان پی استوار

## مقدمه

طی سالیان متعددی بر اساس آزمایشات متعدد ثابت شده است که ظرفیت باربری و نشت پی‌ها تابعی از شکل پی و پارامترهای خاک اطراف و شرایط محیطی می‌باشد لذا بر این اساس تا حال روابط مختلفی برای پیش‌بینی ظرفیت باربری و میزان نشت پی‌ها با اشکال گوناگون توسط محققان مختلف ارائه شده است.

ترزاوی [13] اولین کسی بود که نظریه‌ای برای محاسبه ظرفیت باربری نهایی پی‌های سطحی ارائه کرد. بر اساس این نظریه سه نوع مد گسیختگی به شرح زیر برای انواع مختلف خاکها قابل انتظار می‌باشد:

۱- اگر گسیختگی نهایی همراه با توسعه سطح گسیختگی تا سطح خاک باشد، به آن گسیختگی برشی کلی یا general shear failure می‌گویند که عموماً در خاکهای دانه‌ای متراکم و یا خاکهای چسبنده سفت مورد انتظار است.

۲- اگر شالوده مورد نظر بر روی خاک ماسه‌ای با تراکم متوسط متکی باشد لیکن سطح گسیختگی در خاک بتدریج به سمت خارج توسعه یافته و نشت شالوده همراه با پرش‌های ناگهانی خواهد بود و در این حالت هیچ قله حداکثری در نمودار فشار-نشت ملاحظه نمی‌گردد. به این نوع گسیختگی، گسیختگی برشی موضعی یا local shear failure می‌گویند.

۳- اگر شالوده بر روی خاک نسبتاً شل متکی باشد، سطح گسیختگی در خاک به سطح زمین توسعه نخواهد یافت و به این نوع گسیختگی، گسیختگی برشی سوراخ کننده یا punching shear failure می‌گویند [۵].

همانطور که می‌دانیم خاک مصالحی است که در مقابل فشار و برش مقاومت خوبی دارد، اما در مقابل کشش ضعیف است. تلاش‌های متعددی به منظور غلبه بر ضعف کششی خاک انجام گرفته است و این تلاشها نهایتاً منجر به بکار بردن روش مسلح سازی خاک شده است. البته در خاکهای بر جا مسلح کردن خاک علاوه بر

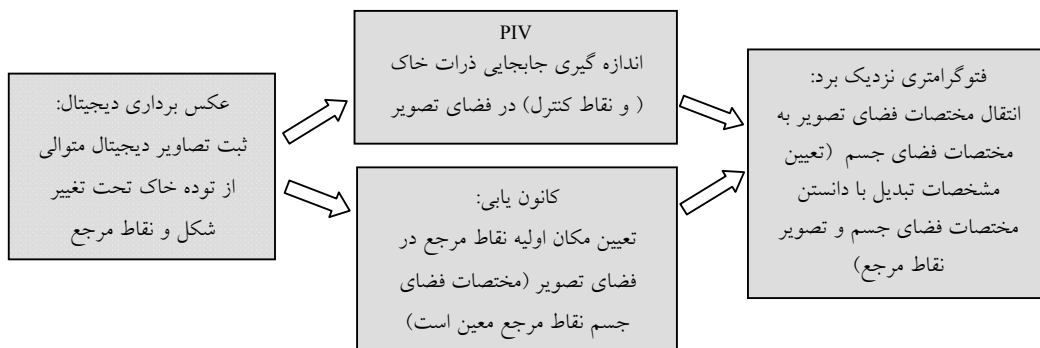
یکی از این روش‌ها، اندازه گیری‌های تغییر شکل تصویر مبنا است. در این تحقیق از یک سیستم نوین اندازه گیری تغییر شکل بر اساس PIV و فتوگرامتری نزدیک برد بعنوان روشی مناسب برای استفاده در مدلسازی‌ها و آزمایشات ژئوتکنیکی استفاده شده است. بدین منظور از یک دوربین عکاسی دیجیتال برای تهیه تصاویر متوالی از تغییر شکل صفحه‌ای خاک استفاده شده است. شکل (۱) روند کلی این تکنیک را نشان می‌دهد.

PIV (Particle Image Velocimetry) یک روش سرعت سنجی است که در ابتدا در رشتۀ مکانیک سیالات و برای اندازه گیری سرعت میدان جریان ۲ و ۳ بعدی بکاربرده شد [۷] سپس یک رویکرد اصلاح شده برای کاربرد PIV در آزمایشات ژئوتکنیکی صورت گرفته است که تغییر شکل خاک بعنوان جریان با سرعت کم بیان می‌شود [۱۴]. در حالیکه سیال نیازمند سید بندی شدن با ذرات (توپهای پلی استیرن یا پودر رنگی)، برای فراهم کردن بافت قابل تشخیص و مشخصه‌های تصویر است تا پردازش تصویری قابل اعمال باشد. ماسه طبیعتاً دارای بافت ذاتی ذرات مختلف الرنگ است. جهت انجام پردازش تصویری، تصویر اول در نواحی که بردارهای جابجایی مورد نظرند به یک شبکه از پچ‌های آزمون تقسیم بندی می‌شود که هر پچ آزمون، (I testU) مرکب از یک ماتریس تصویر از درجه  $L \times L$  پیکسل می‌باشد [۱ (U)].

است و معمولاً مشاهده مکانیزم گسیختگی براساس این روشها مشکل است. بنابراین با توجه به پیچیدگی رفتار خاک که منجر به پیچیدگی اندرکنش خاک و مسلح کننده‌ها می‌گردد بررسی رفتار تغییر شکل خاک مسلح زیر پی‌های نواری به روش‌های تجربی این امکان را فراهم می‌سازد تا درک درست تری از مکانیزم تغییر شکل و یا گسیختگی ایجاد شود لذا هدف اصلی این تحقیق بررسی چگونگی تغییر شکلهای ایجاد شده در زیر پی‌های نواری در ماسه شل و متراکم در حالت غیر مسلح و مسلح مقایسه نتایج بدست آمده از آنها است. به منظور بررسی چگونگی گسترش تغییر شکلهای ایجاد شده و همچنین چگونگی گسترش کرنش در زیر پی‌های نواری در ماسه شل و متراکم و در حالت مسلح و غیر مسلح در مقیاس آزمایشگاهی تعدادی آزمایش برنامه ریزی شده و با استفاده از روش تصویری PIV انجام گرفت که در ادامه به تفضیل توضیح داده می‌شود. حال برای آشنازی بطور خلاصه فرآیند کار با روش PIV معرفی و بررسی می‌گردد.

### تئوری روش سرعت سنجی تصویری ذرات (PIV) در مدلسازی‌های ژئوتکنیک

روش‌هایی که امکان اندازه گیری‌های دقیق را بدون استفاده از ابزار آلات مکانیکی گران قیمت بوجود می‌آورند نقش موثری در گسترش استفاده از مدل‌های فیزیکی خواهند داشت.



گیری حاصل متناظر با آن افزایش خواهد یافت [۱] و [۱۴].

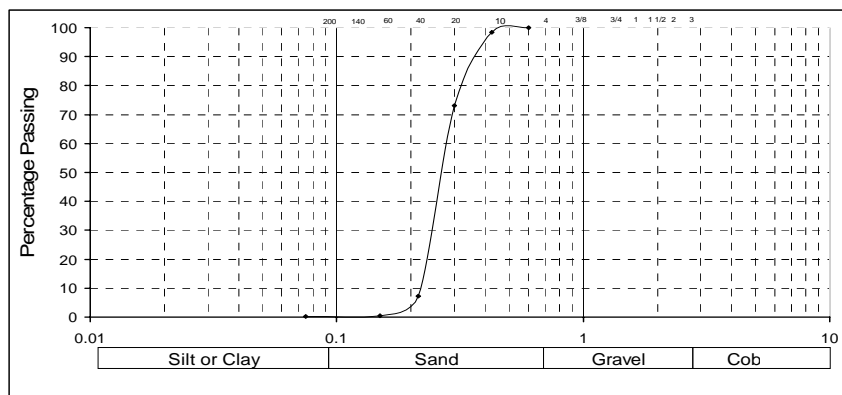
### ویژگی‌های مدل فیزیکی

**مصالح خاکی.** تحقیق حاضر بر روی ماسه خشک منطقه صوفیان استان آذربایجان شرقی واقع در شمال غرب ایران انجام گردیده است. پس از حمل مقدار مورد نیاز از این ماسه از محل یاد شده به آزمایشگاه لازم بود تا این ماسه برای آزمایش‌های اولیه مهیا شود. ابتدا با عبور از الک ۳۰ تمامی مواد اضافی از آن جدا شدند. سپس این ماسه شستشو داده شده و توسط خشک کن خشک گردید. ماسه مورد استفاده بر اساس طبقه بندی متحدد که موردن تایید استاندارد ASTM نیز می‌باشد، دانه بندی یکنواخت داشته و جزو ماسه بد دانه بندی SP قرار می‌گیرد. نمودار مربوط به منحنی دانه بندی خاک در شکل (۲) ارائه شده است. سایر مشخصات ماسه مورد آزمایش در جدول (۱) آمده است. یکی از نکات قابل توجه در ساخت مدل‌های فیزیکی در رابطه با نحوه ریزش ماسه و رعایت یکنواختی مدل و پیوستگی در ریزش ماسه است. بدین منظور از روش بارانی استفاده شده و در حالت شل ماسه از ارتفاع ۲۵ سانتیمتری ریخته شد همچنین برای تهیه نمونه‌های متراکم مشابه حالت شل، خاک بشکل شل درون جعبه ریخته می‌شود.

برای یافتن جایگایی پچ آزمون مابین تصاویر ۱ و ۲، یک پچ جستجو (U+S) searchI در دو مین تصویر انتخاب می‌شود که این پچ جستجو با گسترش دادن پچ آزمون به اندازه Smax در جهات u و v ناحیه ای را که پچ آزمون مورد جستجو قرار می‌گیرد تعريف می‌کند (یعنی پچ آزمون مربع اولیه با اندازه L، بعلاوه حاشیه ای برابر بردار جایگایی ماکزیمم عمودی و افقی). سپس با کمک تابعی که عنوان تابع برآش تعريف می‌شود (correlation function) به دنبال محل پچ آزمون در تصویر بعدی می‌گردد و پچی در تصویر دوم را که به ازای آن میزان تابع برآش به حداقل خود می‌رسد عنوان محل ثانویه پچ آزمون تصویر اول انتخاب می‌کند و بردار حرکت بین مرکز‌های این دو پچ را به عنوان بردار جایگایی معرفی می‌کند.

پردازش عکسها بوسیله نرم افزارهای matpiv و geoPIV که تحت برنامه MATLAB نوشته شده است انجام می‌گردد. خروجی این نرم افزارها بصورت ماتریس دو بعدی u, v می‌باشد که اولی نشان دهنده مولفه افقی و دومی نشان دهنده مولفه عمودی بردار جایگایی هر پچ است. نرم افزارهای موجود دارای دقت تقریبی ۱/۱۵ پیکسل برای بافت ماسه هستند.

دقت سیستم از دقت روش PIV حاصل می‌شود که بشدت تابعی از اندازه و بافت پچ PIV است. هر چه فراوانی روشنایی فضایی تصویر بیشتر شود دقت اندازه



شکل ۲ منحنی دانه بندی ماسه

جدول ۱ مشخصات ماسه مورد آزمایش

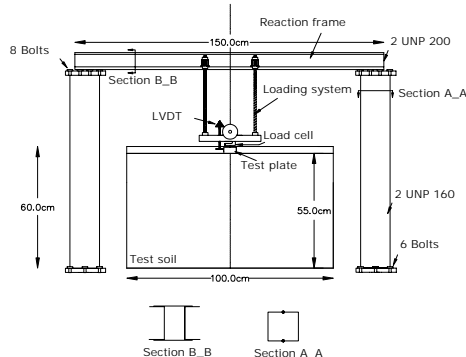
$\gamma_d$ max	$\gamma_d$ min	$G_s$	$e_{max}$	$e_{min}$	$\phi$	$D_{10}$	$D_{30}$	$D_{50}$	$D_{60}$	$C_u$	$C_c$
۱۶/۷۶ (KN/m <sup>3</sup> )	۱۴/۲۰ (KN/m <sup>3</sup> )	۲/۶۳۷	۰/۸۲۲	۰/۵۴	۲۸°	۰/۲۲	۰/۲۴	۰/۲۸	۰/۳	۱/۳۶	۰/۸۷

جدول ۴ مشخصات ژئوگرید

(g/m <sup>2</sup> )	واحد وزن	۴۵۰
(mm)	ضخامت	۲/۵
(mm)	اندازه بازشدنگی	۶×۶
(C)	دماهی کاری	-۵۰ تا +۸۰

در آزمایشات مربوط به حالت مسلح خاک، از یک لایه مسلح کننده استفاده شده و این لایه در عمق  $Z_B$  برابر  $5/0$  فوار گرفت. ( $Z$  عمق قرارگیری و  $B$  عرض پی می باشد)

**سیستم بارگذاری.** با توجه به معیارهای موجود برای ساخت مدل و ایجاد یک سازه صلب، ابتدا یک پی نواری بتن آرمه در سطح زمین اجرا گردیده و در دو انتهای این پی، صفحه پای ستون برای نصب ستونها همراه با ۶ بولت جایگذاری شدند به همین ترتیب اتصالات تیر و ستون نیز طراحی گردیدند. جزئیات مربوط به سازه نگهدارنده سیستم اعمال نیرو در شکل (۳) و مدل فیزیکی ساخته شده در آزمایشگاه در شکل (۴) نشان داده شده است.



شکل ۳ پیکربندی مدل آزمایشگاهی و مقاطع سازه نگهدارنده سیستم اعمال نیرو

متنه بعد از اینکه یک لایه ۵ سانتی متری ریخته شد لایه خاک بوسیله یک چکش و یک صفحه فلزی متراکم می گردید و سپس لایه بعدی ریخته شده و عملیات تراکم تکرار می شد و نهایتاً دانسیته نسبی خاک بعد از اتمام آزمایش با احتساب وزن خاک و دانستن حجم آن محاسبه میگردد. جدول (۲) مشخصات ماسه های مورد استفاده مدل های آزمایش شده را نشان می دهد.

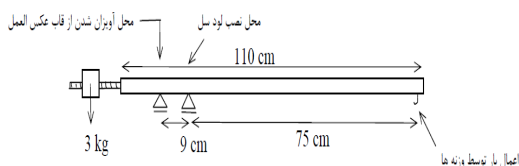
جدول ۲ مشخصات مکانیکی متوسط ماسه شل و متراکم بکار رفته در آزمایشات

حالت خاک	شل	متراکم
$\gamma_d$ (KN / m <sup>3</sup> )	۱۴/۷۸	۱۵/۹۶
تخلخل	۰/۷۵	۰/۶۱
$D_f$ (%)	٪۲۵	٪۷۷

مسلح کننده ها. در ساخت فونداسیون خاکی مسلح مورد آزمایش از دو نوع مسلح کننده ژئوتکستایل و ژئوگرید استفاده شد. مشخصات مکانیکی و فیزیکی مسلح کننده ها به تفکیک در جداول (۳) و (۴) آورده شده است [۴ و ۳].

جدول ۳ مشخصات ژئوتکستایل

( gr/m <sup>2</sup> )	وزن واحد	۳۰۰
(mm)	ضخامت	۱/۶
(KN/m)	مقاومت کششی ماکریم	۱۳/۲۲
افزایش طول در وضعیت مقاومت کششی ماکریم %	۵۰/۳۰	
(N)	مقاومت در برابر سوراخ شدن	۳۸۹۰
(mm)	اندازه بازشدنگی	۰/۰۷



شکل ۶ سیستم بارگذاری مورد استفاده در آزمایشات

### نتایج حاصل از انجام آزمایشها

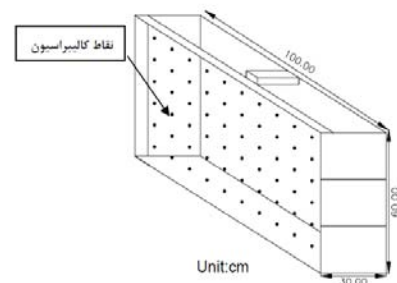
در طول آزمایش از توده خاک در حال تغییر شکل در هر مرحله از بارگذاری با استفاده از دوربین دیجیتال با پسحور تصویری ۷/۱ مگا پیکسل عکسبرداری و در حافظه داخلی ذخیره شد و بعد از انجام آزمایشات، عکسهای گرفته شده با استفاده از نرم افزار Geopiv8 مورد پردازش تصویری قرار گرفتند. در این تحقیق با مش بندی عکسهای گرفته شده در اندازه ۴۸×۴۸ بافت تصویری مناسبی جهت تحلیل‌ها ایجاد شده و جابجایی مشها در توده خاک در حال تغییر شکل بدست آمد.

چند نمونه از نتایج حاصل از پردازش تصویری عکسها درادامه ارائه گردیده است. در این شکلها، نمودارهای سمت راست بردارهای جابجایی المانهای خاک و نمودارهای سمت چپ کرنشهای برشی ایجاد شده در اثر نشست پی نواری در وضعیت‌های مختلف را نشان می‌دهند. از آنجائی که اصولاً مسلح کننده‌ها در مصالح خاکی متراکم بکار می‌روند لذا در آزمایشاتی که روی ماسه شل انجام گرفته از مسلح کننده‌ها استفاده نشده است. با مقایسه نمودارهای بدست آمده تفاوت کلی مکانیسم رفتاری در خاکهای ماسه‌ای شل و متراکم در وضعیت پیش از گسیختگی کاملاً بازگشایی باشد. همانطور که در شکل (۷) دیده می‌شود بعلت شل بودن خاک، تمایل به تراکم خاک در زیر پی در اثر بارگذاری وجود دارد و جهت بردارهای تغییر مکان در زیر پی به سمت پایین و طرفین متتمایل است بنابراین در این شرایط خاک زیر پی قبل از تشکیل گوه گسیختگی دچار نشست قابل توجهی شده است و آثار این نشست تا اعماق حدود



شکل ۴ مدل فیزیکی ساخته شده در آزمایشگاه

برای ساخت ظرف آزمایشگاهی که باستی خاک در داخل آن قرار می‌گرفت از صفحات فلزی استفاده شده که با توجه به ضخامت و نحوه اتصالات تا حد قابل قبولی صلب بودند. بخاطر عکسبرداری از سیستم در طی بارگذاری‌های متوالی در یک طرف محافظه موردنظر از طلق شفاف (plaxiglass) جهت مشاهده میدان تغییر شکل توده خاک استفاده شد که توسط پیچ در سه وجه مدل متصل گردید. شکل (۵) ابعاد جعبه آزمایش و نقاط کالیبراسیون را نشان می‌دهد فاصله نقاط کالیبراسیون در مدلسازی فیزیکی اخیر ۸ سانتی متر بود. برای اعمال بار از یک سیستم نیرو کنترل استفاده شده است که در آن بار با افروden وزنه‌ها تا لحظه گسیختگی نمونه افزایش داده می‌شود. این سیستم بصورت شماتیک در شکل (۶) نشان داده شده است.



شکل ۵ جعبه آزمایش

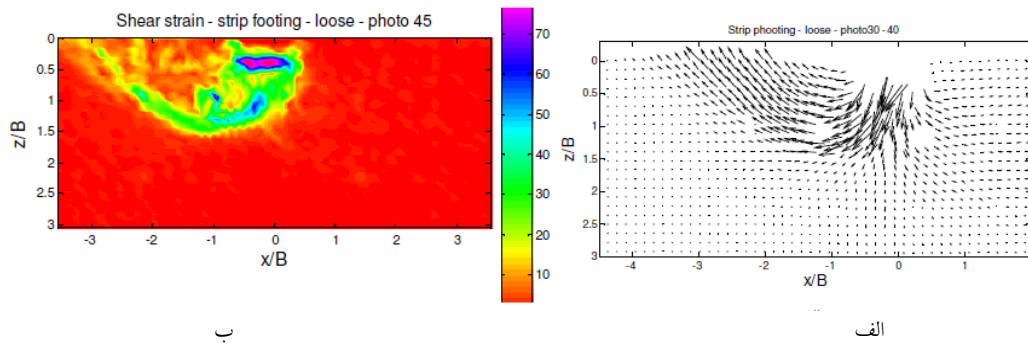
خروج از مرکزیت یا مایل بودن نیرو باعث خواهد شد که مکانیزم گسیختگی از دو طرف به یک طرف تغییر پیدا کند [2]. گوه گسیختگی ایجاد شده در نمودار کرنش برشی مربوط به همین وضعیت نیز به وضوح قابل مشاهده می باشد (شکل ۷-ب). البته لازم به ذکر است که در حالت خاک متراکم مسلح نیز در اکثر آزمایشات گوه گسیختگی بوجود آمده بصورت یک طرفه بود که این مساله در شکل (۹-الف) نیز دیده می شود.

$Z/B = 1.5$  ادامه دارد در ضمن گوه گسیختگی بوجود آمده در این حالت بصورت یک طرفه است و این مساله احتمالا ناشی از چرخش پی نواری در وضعیت نزدیک به حالت گسیختگی است. دلائل محتمل این مساله را بشرح زیر می توان بیان نمود:

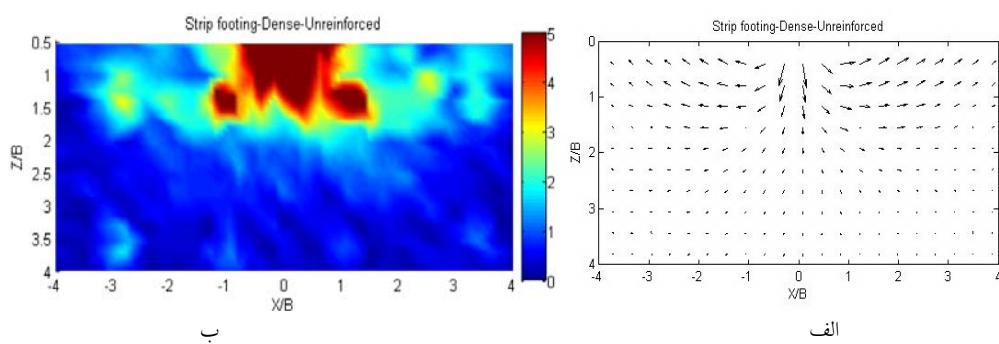
۱- خارج از مرکزیت نیروی وارد بر پی

۲- عدم یکنواختی کامل خاک زیر پی نواری

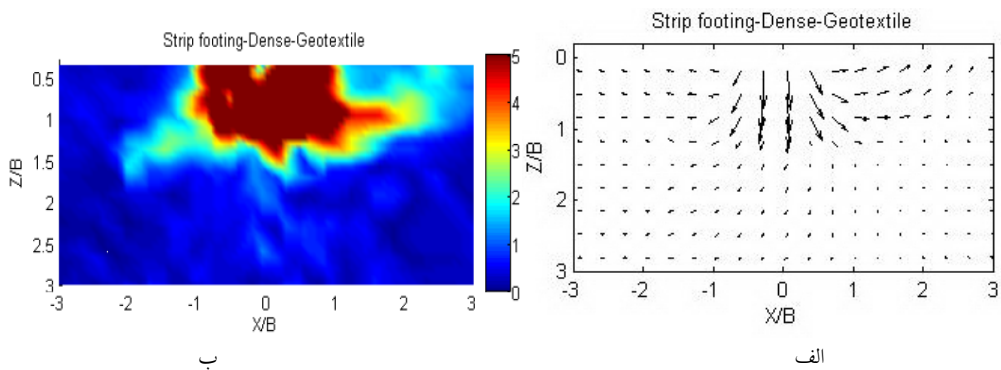
بنابراین نحوه گسیختگی خاک زیر پی نواری بشدت نسبت به نحوه بارگذاری حساس بوده و کمی



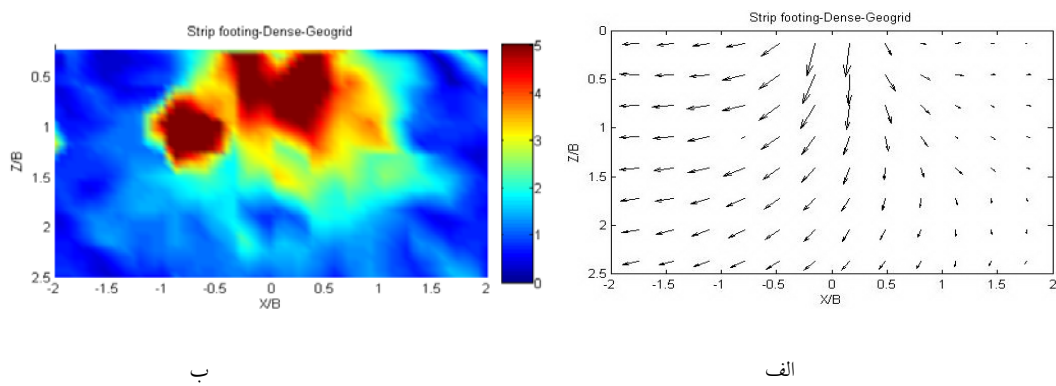
شکل ۷ (الف) بردارهای جابجایی المانهای خاک در اثرنشست پی نواری در خاک ماسه ای شل، (ب) کرنشهای برشی بوجود آمده در اثرنشست پی در این شرایط



شکل ۸ (الف) بردارهای جابجایی المانهای خاک در اثرنشست پی نواری در خاک ماسه ای متراکم غیرمسلح، (ب) کرنشهای برشی بوجود آمده در اثرنشست پی در این شرایط



شکل ۹ (الف) بردارهای جابجایی المانهای خاک در اثر نشست پی نواری در خاک ماسه‌ای متراکم مسلح شده با ژئوتکسٹایل، (ب) کرنشهای برشی بوجود آمده در اثر نشست پی در این شرایط



شکل ۱۰ (الف) بردارهای جابجایی المانهای خاک در اثر نشست پی نواری در خاک ماسه‌ای متراکم مسلح شده با ژئوگردید  
ب) کرنشهای برشی بوجود آمده در اثر نشست پی در این شرایط

نوع رفتار خاک مسلح شده با ژئوتکسٹایل تقریباً مشابه رفتار خاک غیرمسلح متراکم می‌باشد و بکاربردن ژئوتکسٹایل تاثیر چندان چشمگیری در بهبود رفتار خاک و نهایتاً افزایش ظرفیت باربری نداشته است. علت این مساله را می‌توان چنین بیان کرد که چون ژئوتکسٹایل‌ها خود مصالح شکل پذیری هستند بنابراین برای گسترش فرآیند کششی لزوماً پی باید نشست قابل توجهی نماید و چون این امر در بسیاری از موقعیت علل الخصوص در مصالح متراکم نمی‌تواند بوقوع بیرونند لذا ژئوتکسٹایل کارایی خوبی از خود نشان نمی‌دهد بنابراین ژئوتکسٹایل‌ها ممکن است مصالح مناسبی برای افزایش ظرفیت

در شکل‌های (۸)، (۹) و (۱۰) مکانیزم رفتاری خاک ماسه‌ای متراکم در اثر اعمال نیرو نشان داده شده است.

همانطور که در شکل‌ها دیده می‌شود تمايل به نشست در زیر پی‌ها قبل از تشکیل گوه گسیختگی در خاک‌های ماسه‌ای متراکم کمتر از خاک ماسه‌ای شل است و از میان آزمایشات مربوط به خاک متراکم نیز در شرایط بارگذاری یکسان، میزان نشست المانهای خاک در حالت خاک مسلح شده با ژئوگردید کمترین مقدار را دارد. با توجه به نتایج بدست آمده چنین برداشت می‌شود که در شرایط بارگذاری یکسان مقدار نشست المانهای خاک و

اعماق مختلف خاک در زیر پی را نشان می دهد (X فاصله از مرکز پی و Z عمق در زیر پی است). همانطور که در شکل (۱۱) دیده می شود در ماسه شل در اعماق نزدیک به سطح پی، مقدار نشست المانهای خاک بسیار نزدیک به اندازه نشست خود پی میباشد ولی با حرکت به عمق از مقدار نشست المانهای خاک کاسته می شود و این فرآیند حاکی از تمایل خاک ماسه ای شل به تراکم در زیر پی است.

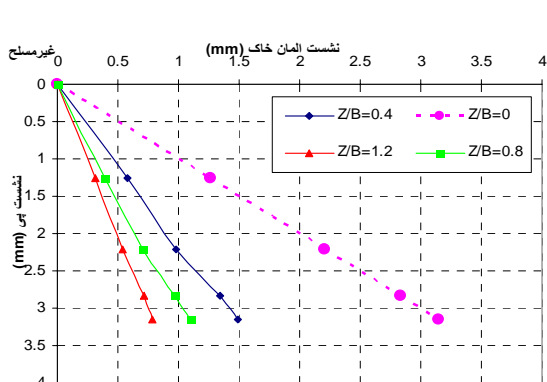
مقایسه بین نشست خود پی و نشست المانهای خاک در اعماق مختلف برای خاک ماسه ای متراکم در شکل های (۱۲)، (۱۳) و (۱۴) بصورت نمودار ارائه شده است. همانطوریکه دیده می شود در شرایط متراکم اختلاف بین نشست پی و نشست المانهای خاک نسبت به حالت شل بیشتر است و این اختلاف با حرکت به سمت عمق بیشتر می شود این پدیده از تاثیر تراکم در فرآیند نشست ناشی شده است. در شرایط بارگذاری مشابه، زمانی که از ژئوگرید بعنوان مسلح کننده استفاده شده، مقدار نشست المانهای خاک به شدت کاهش یافته است که این مساله نهایتا منجر به افزایش چشمگیر ظرفیت باربری پی شده است، درحالی که در وضعیت بارگذاری یکسان رفتار خاک برای حالت متراکم غیر مسلح و مسلح شده با ژئوتکستایل تقاضت چشمگیری ندارد. با در نظر گرفتن توضیحات اخیر می توان به کارایی بهتر ژئوگرید بعنوان مسلح کننده در خاکهای ماسه ای پی برد.

برای بررسی چگونگی تغییر شکل و جهت جابجایی المانهای خاک در زیر و اطراف پی از زاویه قرار گیری بردارهای تغییر مکان استفاده شد با توجه به زاویه بردارهای تغییر مکان ها در اعماق مختلف در اطراف پی ها نسبت به افق که در شکل های (۱۵-۱۸) آورده شده اند چنین نتیجه می شود که چگونگی جابجایی پی نواری در ماسه شل و متراکم متفاوت از هم است و حتی جهت جابجایی پی در شرایط ماسه متراکم غیر مسلح و مسلح مشابه هم نیست.

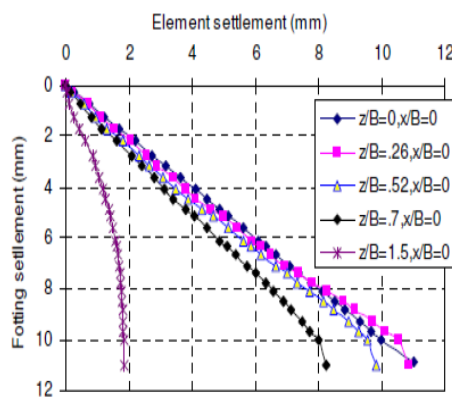
باربری مصالح دانه ای نباشد. این نتیجه گیری در ادامه بکمک تحلیل سایر نمودارها نیز بدست آمده است. بنابراین نتیجه گیری کلی که می توان به آن اشاره نمود عدم کارایی قابل توجه ژئوتکستایل بعنوان مسلح کننده در خاکهای دانه ای مشابه با مشخصات ماسه بکار رفته در این تحقیق است که امکان نشست زیاد ندارند.

همانطور که از شکل (۱۰) بر می آید با افزودن ژئوگرید به خاک ماسه ای متراکم، تغییر قابل توجهی در اندازه بردارهای جابجایی بوجود آمده و میزان نشستها در شرایط بارگذاری مشابه با حالت غیرمسلح و مسلح شده با ژئوتکستایل بشدت کاهش یافته و نهایتا ظرفیت باربری نیز به تبع آن افزایش یافته است بنابراین در این آزمایش فاصله زیادی تا حالت گسیختگی پیش بینی می شود علت این مساله را می توان چنین بیان کرد که چون در این شرایط حجم وسیعی از خاک در برابر نیروهای اعمالی مقاومت کرده لذا کرنشهای برشی ایجاد شده تا عمق زیادی از خاک نفوذ نموده اند بنابراین در این شرایط اثری از تشکیل گوه گسیختگی ظاهر نشده است. افزایش ظرفیت باربری در این شرایط تا جایی پیش رفت که رسیدن به شرایط گسیختگی خارج از توان سیستم بوده و بنچار آزمایش قبل از گسیختگی خاک متوقف گردید. بدین ترتیب می توان گفت که مصالح ژئوگرید نیاز چندانی به نشست خاک برای عمل کردن ندارند و این مساله از سختی نسبتا بالای این مصالح و امکان قفل شدگی بالای آنها با خاک حاصل شده است در نتیجه ژئوگریدها را می توان بعنوان مصالح بسیار مناسب برای افزایش ظرفیت باربری در خاکهای دانه ای مورد استفاده قرار داد.

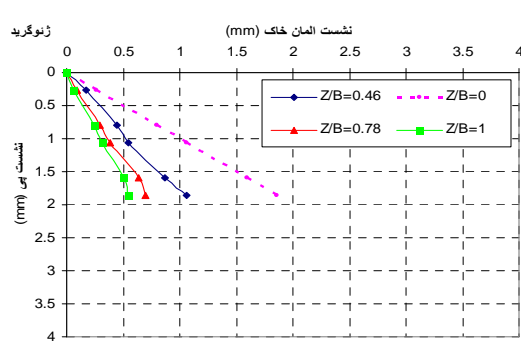
برای تمامی آزمایشات نشست پی با استفاده از LVDT اندازه گیری شده است و در ضمن با استفاده از PIV تغییر مکانهای نقاط مختلف خاک در جهت افقی و قائم در اعماق مختلف خاک بدست آمدند. شکل های (۱۱)، (۱۲)، (۱۳) و (۱۴) مقدار تغییر مکان قائم پی را در مقابل تغییر مکانهای قائم بوقوع پیوسته در



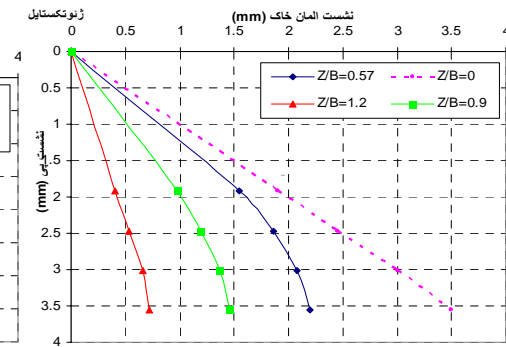
شکل ۱۲ نیشت المانهای خاک زیر پی نواری  
در خاک ماسه‌ای متراکم غیر مسلح



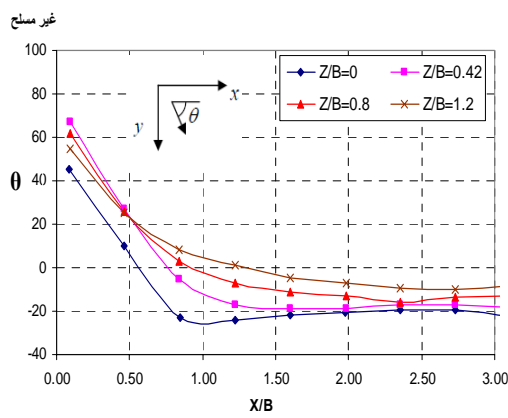
شکل ۱۱ نیشت المانهای خاک زیر پی نواری  
در خاک ماسه‌ای سست



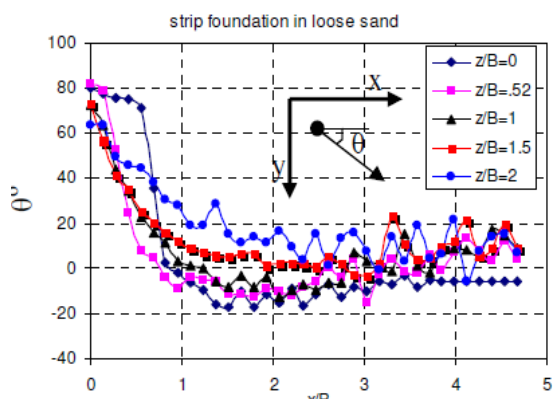
شکل ۱۴ نیشت المانهای خاک زیر پی نواری در خاک  
ماسه‌ای متراکم مسلح شده با ژئوگرید



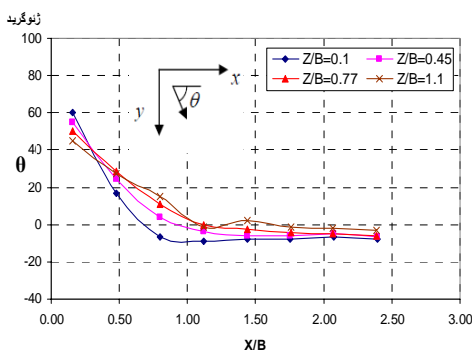
شکل ۱۳ نیشت المانهای خاک زیر پی نواری در  
خاک ماسه‌ای متراکم مسلح شده با ژئوتکستیل



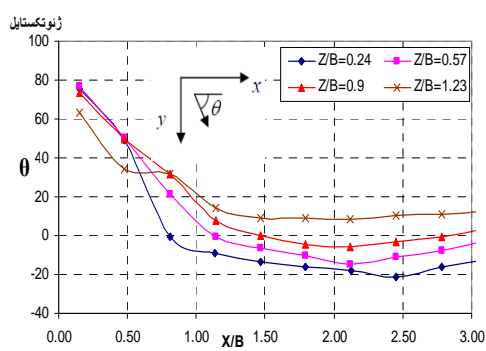
شکل ۱۶ زاویه بردارهای جابجایی المانهای خاک با امتداد  
افقی برای خاک ماسه‌ای متراکم غیر مسلح



شکل ۱۵ زاویه بردارهای جابجایی المانهای خاک  
با امتداد افقی برای خاک ماسه‌ای شل



شکل ۱۸ زاویه بردارهای جابجایی المانهای خاک با  
با امتداد افق برای خاک مسلح شده با ژئوگرد



شکل ۱۷ زاویه بردارهای جابجایی المانهای خاک با  
امتداد افق برای خاک مسلح شده با ژئوتکسیال

افزودن مسلح کننده از مقدار عددی زاویه منفی کاسته می شود و بدین ترتیب در شرایط بارگذاری یکسان حجم وسیعی از خاک در برابر نیروهای اعمالی مقاومت کرده و تشکیل گوه گسیختگی به تعویق می افتد. بدین ترتیب به کمک روش PIV می توان اندازه و جهت جابجایی المانهای خاک زیرپی را به سادگی مورد ارزیابی قرار داد و کارایی هر نوع مسلح کننده ای را بررسی کرد و نهایتاً شکل گوه گسیختگی را پیش بینی نمود.

### نتایج مهم

از مهمترین نتایج حاصل از تحقیق اخیر به موارد زیر می توان اشاره نمود:

۱- به علت تمایل به تراکم در خاک سست، نشست المانهای خاک در اعمق کم، نزدیک به نشست خود پی در این شرایط میباشد و همچنین زاویه قرارگیری بردارهای تغییر مکان با افزایش عمق افزایش یافته و به حالت قائم نزدیک می شوند.

۲- در شرایط خاک متراکم، نشست المانهای خاک نسبت به پی در مقایسه با خاک شل کمتر بوده و در شرایط بارگذاری یکسان، اندازه زاویه منفی المانهای خاک در مقایسه با خاک سست کمتر است.

۳- استفاده از مسلح کننده ها باعث میشود تا حجم وسیعی از خاک در برابر نیروهای اعمالی مقاومت کرده لذا کرنشهای برشی ایجاد شده تا عمق زیادی از

در تمامی نمودارهای مربوط به زاویه بردارهای جابجایی المانهای خاک مشاهده می شود که درست در زیر پی نواری، (یعنی در فاصله  $X/B = 0.5$ ) اندازه زوایا مثبت بوده و مقدار عددی این زاویه درست در مرکز پی یعنی محل اعمال نیرو بیشترین مقدار را داشته و با فاصله گرفتن از مرکز، از مقدار آن کاسته می شود. اندازه مثبت این زاویه بیانگر جهت قائم و رو به پایین بردارهای جابجایی است که حاکی از تمایل به نشست در زیر پی دارد. همانطور که در شکل (۱۵) دیده می شود این زاویه در وضعیت ماسه شل بیشترین مقدار را دارد و کمترین مقدار این زاویه مثبت در خاک مسلح شده با ژئوگرد مشاهده شده است و این بدان معناست که استفاده کردن از ژئوگرد بعنوان مسلح کننده بر سختی خاک افزوده و تمایل به نشست مصالح را کاسته است. با فاصله گرفتن از پی (یعنی در فاصله  $X/B = 0.5$  بزرگتر از ۰.۵) تا حوالی عمق موثر مقدار عددی زاویه بردارهای جابجایی منفی بوده و در واقع جهت حرکت المانهای خاک به طرف بالا و طرفین است ولی در عمق های پایین تر مقدار این زاویه به صفر رسیده و بردارهای جابجایی به صورت افقی در می آیند. با توجه به شکل (۱۸) اندازه زاویه منفی در مورد خاک مسلح شده با ژئوگرد کمترین مقدار را دارد و این مساله بیان کننده وجود فاصله تا تشکیل گوه گسیختگی درآزمایشها انجام شده میباشد. با مقایسه نمودارهای بالا چنین نتیجه می شود که با

ژئوتکستایل بوده و منجر به بهبود پارامترهای مکانیکی خاک می‌گردد.

۵- به علت شکل پذیر بودن ژئوتکستایل، استفاده از آن به عنوان مسلح کننده در مصالح دانه‌ای متراکم توصیه نمی‌گردد.

خاک نفوذ نمایند و در نتیجه مد گسیختگی از حالت موضعی به کلی تبدیل شود.

۶- در مصالح دانه‌ای متراکم مشابه با ماسه مورد استفاده در آزمایشات اخیر که امکان نشت زیاد ندارند، بکار بردن ژئوگرید به عنوان مسلح کننده بسیار موثرتر از

## مراجع

۱. حاجی علیلوی بناب، م.، توسعه روشهای تصویری در مدلسازی پیشرفتیه ژئوتکنیکی و ارزیابی گسترش تغییر شکل در خاک، گزارش طرح پژوهشی، دانشگاه تبریز، ایران، (۱۳۸۶).
۲. حاجی علیلوی بناب، م.، سجادی، ی.، احمدی، ح.، مطالعه گسترش کرنش در زیر بی‌ها به روش تصویری، چهارمین کنگره ملی مهندسی عمران، دانشگاه تهران، ایران، (۱۳۸۷).
۳. ساکت، ع.، ژئوتکستایل و کاربرد آن، وزارت صنایع و معادن، سازمان زمین شناسی و اکتشافات معدنی کشور، (۱۳۸۵).
۴. ساکت، ع.، ژئوتکستایل و کاربرد آن، وزارت صنایع و معادن، سازمان زمین شناسی و اکتشافات معدنی کشور، (۱۳۸۵).
۵. طاحونی، ش.، اصول مهندسی ژئوتکنیک، چاپ ششم، انتشارات پارس آین، (۱۳۸۰).
6. Adams, M.T., Colin, J.G., Large model spread footing load tests on geosynthetic reinforced soil foundation, *Journal of Geotechnical Engineering*, ASCE123(1):66-73, (1997).
7. Adrian, R.J., Particle imaging techniques for experimental fluid mechanics, Annual review of fluid mechanics, 23:261-304, (1991).
8. Akinmusuru, J.Q., Akinbolade, J.A., Stability of loaded footings on reinforced soil, *Journal of Geotechnical Engineering*, ASCE 107(6): 819-827, (1981).
9. Binquet, J., Lee, K.L., Bearing capacity tests on reinforced earth slabs, *Journal of Geotechnical Engineering*, ASCE 101(12),1241-1255, (1975a).
10. Guido, V.A., Biesiadecki,G.L., Sullivan, M.J., Bearing capacity of geotextile reinforced foundation, *Proceeding of the 11<sup>th</sup> International Conference on Soil Mechanics and Foundation of Engineers*, San Francisco, CA, pp. 1777-1780, (1985).
11. Huang, C.C., Menq, F.Y., Deep footing and wide-slab effects on reinforced sandy ground, *Journal of Geotechnical and Geoenvironmental Engineering*, ASCE 123(1):30-36, (1997).
12. Schlosser, F., Jacobsen, H.M., Juran, I., Soil reinforcement. *General Report, VIII European Conference on Soil Mechanics and Foundation Engineering*, Bakema, Helsinki, pp:83-103, (1983).
13. Terzaghi, K., *Theoretical Soil Mechanics*, Wiley, Inc, New York, (1943).
14. White, D.J., Take, W.A. & Bolton, M.D., Soil deformation measurement using particle image velocimetry (PIV) and hotogrammetry, *Geotechnique* 53, No.7: 619-631, (2003).
15. Yetimoglu, T., Wu, J.T.H., Saglamar, A., Bearing capacity of rectangular footing on geogrid reinforced sand, *Journal of Geotechnical Engineering*, ASCE 120(12): 2083-2099, (1994).